

ГОСУДАРСТВЕННЫЙ КОМИТЕТ РСФСР ПО ДЕЛАМ НАУКИ И ВЫСШЕЙ ШКОЛЫ

Ордена Трудового Красного Знамени
научно-исследовательский радиофизический институт (НИРФИ)

П р е п р и н т № 337

АТМОСФЕРНАЯ ПОВЕРХНОСТНАЯ ВОЛНА
СТОЧНЫИ - ШОЛГЭ - ЛЭМБА

Л.А.Гасилова
И.Ю.Гордеева
Ю.В.Петухов

Нижний Новгород 1991

Гасилова Л.А., Гордеева И.Ю., Петухов Ю.В.

АТМОСФЕРНАЯ ПОВЕРХНОСТНАЯ ВОЛНА СТОУНЛИ-ШОЛТЭ-ЛЭМБА//Препринт № 337. - Н.Новгород: НИРОИ, 1991. - 21 с.

УДК 531.596.1

Исследованы дисперсионные свойства модифицированной поверхности волны Стоунли-Шолтэ-Лэмба, распространяющейся вдоль границы раздела изотермическая атмосфера - океанический волновод, моделируемый слоем однородной скимаемой жидкости, лежащим на однородном упругом полупространстве, и определены частотные зависимости ее коэффициентов возбуждения для возмущения давления и скорости частиц среды в атмосфере при точечном подводном источнике массы. Показано, что эта волна существует лишь на частотах ниже определенной критической частоты, уменьшающейся с ростом глубины слоя, и распространяется со сверхзвуковой (по отношению к воздуху) скоростью выше и дозвуковой скоростью ниже определенной, уменьшающейся с ростом глубины водного слоя, частоты.

Анализ полученного в /I/ дисперсионного уравнения для собственных решений системы изотермическая атмосфера – однородная сжимаемая жидкость, моделирующая океан, показал (см./I/), что лишь на частотах ниже определенной критической частоты (см.(I2), (I3) в /I/) существует модифицированная поверхностная волна Лэмба, распространяющаяся вдоль соответствующей границы раздела сред со сверхзвуковой (по отношению к воздуху) скоростью, возрастающей при понижении частоты, и являющаяся аналогом известной волны Лэмба в атмосфере (см./2/), распространяющейся со скоростью звука вдоль абсолютно жесткой границы раздела (несжимаемая жидкость). Исследования же полученного в /I, 3/ дисперсионного уравнения для собственных решений системы изотермическая атмосфера – однородное упругое полупространство, моделирующее Землю, показали, что в такой системе аналог поверхностной волны Лэмба отсутствует, во всем диапазоне частот существует лишь поверхностная волна Стоунли – Шолтэ /4/, распространяющаяся с дозвуковой скоростью, уменьшающейся с понижением частоты, волна же Рэлея становится поверхностной лишь на частотах ниже определенной критической частоты (см.(I9) в /I/) и распространяется с увеличивающейся при понижении частоты скоростью.

Настоящая же работа посвящена естественному продолжению и обобщению выполненных в /I, 3/ исследований, а именно – изучению дисперсионных свойств и частотных зависимостей коэффициентов возбуждения поверхностных волн, существование которых возможно в более сложной системе изотермическая атмосфера – моделирующей океанический волновод однородный слой сжимаемой жидкости, лежащий на однородном упругом полупространстве, поскольку такая система будет, по-видимому, адекватнее по сравнению с /I, 3/ описывать физические свойства низкочастотных возмущений, распространяю-

находящихся как в атмосфере, так и в океане.

При решении поставленной задачи рассмотрим, как и в /I/, изотермическую модель атмосферы с экспоненциально спадающей с ростом высоты $Z \geq H$ плотностью воздуха $\rho_1(Z) = \rho_{01} \exp(-\gamma g (Z - H)/c_1^2)$ и постоянными адиабатической скоростью звука C_1 и показателем адиабаты γ , предполагая, что начало цилиндрической системы координат Z, r расположено на границе жидкости с упругим полупространством $Z = 0$, а ось Z направлена вертикально вверх r ; здесь g — ускорение силы тяжести, $\rho_{01} = \rho_1(Z = H)$ — плотность воздуха на границе с жидкостью, H — глубина водного слоя, r — горизонтальное расстояние. Тогда линеаризованное уравнение для возмущения давления ρ'_1 в неподвижной атмосфере записывается, с использованием /5/, в следующем виде:

$$\left\{ \left(\frac{\partial^2}{\partial t^2} + N_1^2 \right) \left(\frac{\partial^2}{C_1^2 \partial t^2} - \Delta_1 \right) - \frac{\partial^2}{\partial t^2} \left(\frac{\partial^2}{\partial t^2} + N_1^2 \right) \times \right. \\ \left. \times \left(\frac{\partial^2}{\partial z^2} - 2\Gamma_1 \frac{\partial}{\partial z} \right) \right\} \exp(g(z-H)/c_1^2) \rho'_1 = 0, \quad (I)$$

$$\left. \times \left(\frac{\partial^2}{\partial z^2} - 2\Gamma_1 \frac{\partial}{\partial z} \right) \right\} \exp(g(z-H)/c_1^2) \rho'_1 = 0,$$

где $N_1^2 = (\gamma - 1) g^2 / C_1^2$ — квадрат частоты Брента-Вайселя, $\Gamma_1 = (2 - \gamma) g / 2 C_1^2$ — коэффициент Эккарта, $\Delta_1 = \frac{1}{r} \frac{\partial}{\partial r} (r \frac{\partial}{\partial r})$, t' — время.

Линеаризованное уравнение для возмущения давления ρ'_2 в сжимаемой жидкости с постоянными при $0 \leq Z \leq H$ значениями плотности ρ_2 и скорости звука C_2 , в которой на глубине $Z = h$ расположен точечный источник массы с произвольной зависимостью от времени производительности $Q(t) = \frac{1}{r} \delta(r) \delta(z-h) M(t)$, записывается в следующем виде:

$$\left(\frac{\partial^2}{C_2^2 \partial t^2} - \Delta_1 - \frac{\partial^2}{\partial z^2} \right) \rho'_2 = \rho_2 \frac{\delta(r) \delta(z-h)}{r} \frac{\partial M}{\partial t}, \quad (2)$$

где $M(t)$ - функция, моделирующая определенный физический процесс в источнике, $\delta(r)$ и $\delta(z-h)$ - дельта функции. Необходимые же для дальнейшего взаимосвязи возмущения давления p , с соответствующими значениями вертикальной компоненты скорости смещения частиц среди волны U_{jz} ($j = [1, 2]$) записем в следующем виде (см./5, 6/):

$$\frac{\partial^2}{\partial t \partial z} \exp\left(\frac{g(z-h)}{c_1^2}\right) p'_1 + \left(\frac{\partial^2}{\partial t^2} + N_1^2 \right) p_1(z) \exp\left(\frac{g(z-h)}{c_1^2}\right) U_{1z} = 0, \quad (3)$$

$$\frac{\partial p'_2}{\partial z} + \beta_2 \frac{\partial U_{2z}}{\partial t} = 0.$$

При описании волновых процессов в однородном упругом полупространстве $z \leq 0$ удобно воспользоваться уравнениями для потенциалов смещений продольных φ и сдвиговых Ψ волн /7/:

$$\frac{1}{c_t^2} \frac{\partial^2 \varphi}{\partial t^2} - \nabla^2 \varphi = 0, \quad \frac{1}{c_t^2} \frac{\partial^2 \Psi}{\partial t^2} - \nabla^2 \Psi = 0, \quad (4)$$

а также, необходимыми в дальнейшем, дифференциальными соотношениями

$$u_z = \frac{\partial \varphi}{\partial z} + \frac{1}{r} \frac{\partial}{\partial r} \left(-r \frac{\partial \varphi}{\partial r} \right),$$

$$\sigma_{zz} = \lambda \nabla^2 \varphi + 2\mu \frac{\partial u_z}{\partial z}, \quad (5)$$

$$\sigma_{zr} = \mu \frac{\partial}{\partial r} \left(\frac{\partial \varphi}{\partial z} + \frac{\partial^2 \Psi}{\partial z^2} + u_z \right)$$

для вертикальной компоненты смещения частиц U_z и соответствующих компонентов тензора напряжения σ_{zz} и σ_{zr} в упругой волне. Здесь $C_p = \sqrt{(\lambda + 2\mu)/\rho_3}$ и $C_t = \sqrt{\mu/\rho_3}$ — скорости продольных и сдвиговых волн в упругой среде с плотностью $\rho_3 = \text{const}$ и параметрами Ламэ λ, μ .

Для однозначного решения поставленной задачи остается записать лишь стандартные граничные условия (см./I, 6, 7/)

$$\begin{aligned} z = 0: \quad v_{2z} &= \frac{\partial u_z}{\partial t}, \quad \sigma_{zz} = -\rho'_2, \quad \sigma_{zr} = 0, \\ z = H: \quad v_{1z} &= v_{2z}, \quad \frac{\partial p'_1}{\partial t} - g\rho_{01}v_{1z}(H) = \frac{\partial p'_2}{\partial t}, \end{aligned} \quad (6)$$

выражающие собой непрерывность нормальной компоненты скорости смещения частиц и полной производной по времени от суммарного давления или от соответствующих компонентов тензора напряжений в гра-ничящих при $z = 0$ и $z = H$ средах.

С использованием (I)–(6), для представляющих интерес спектральных компонентов Фурье возмущения давления $\bar{p}_j(\omega)$ и скорости смещения $\bar{v}_{jz}(\omega)$:

$$\bar{p}_j(\omega) = \int_{-\infty}^{+\infty} p'_j(t) e^{-i\omega t} dt, \quad \bar{v}_{jz}(\omega) = \int_{-\infty}^{+\infty} v_{jz}(t) e^{-i\omega t} dt$$

найдем интегральные выражения:

$$\begin{aligned} \bar{p}_1(\omega) &= \frac{e^{-i\frac{\pi}{2}}}{2} \bar{M}(\omega) \rho_3 R_1 R_2 \omega K_1 (1 - W_1^2) \int_{-\infty}^{+\infty} \frac{D_a(x)}{D_g(x)} e^{-\gamma_1(\bar{z}-\bar{H})} H_0^{(2)}(\bar{r}x) x dx, \\ \bar{v}_{1z}(\omega) &= \frac{e^{iG(\bar{z}-\bar{H})}}{2} \bar{M}(\omega) R_2 K_1^2 \int_{-\infty}^{+\infty} \frac{(W_2 - \gamma_1) D_a(x)}{D_g(x)} e^{-\gamma_1(\bar{z}-\bar{H})} H_0^{(2)}(\bar{r}x) x dx, \end{aligned}$$

$z \geq H;$

$$\begin{aligned}
 \bar{p}_2(\omega) = & \frac{e^{i\frac{\pi}{2}}}{4} \bar{M}(\omega) p_2 \omega K_1 \int_{-\infty}^{+\infty} \left\{ e^{\mp \gamma_2 (\bar{z} - \bar{h})} + \frac{D_g(x)}{D_f(x)} e^{-\gamma_2 \bar{x}} \right. \\
 & \left. - \frac{D_s(x)}{D_g(x)} e^{\gamma_2 (\bar{z} - \bar{h})} \right\} H_0^{(2)}(\bar{r}x) \frac{x}{\gamma_2} dx, \\
 \bar{U}_{2z}(\omega) = & \frac{e^{i\pi}}{4} \bar{M}(\omega) K_1^2 \int_{-\infty}^{+\infty} \left\{ \mp e^{\mp \gamma_2 (\bar{z} - \bar{h})} - \frac{D_f(x)}{D_g(x)} e^{-\gamma_2 \bar{z}} \right. \\
 & \left. - \frac{D_s(x)}{D_g(x)} e^{\gamma_2 (\bar{z} - \bar{h})} \right\} H_0^{(2)}(\bar{r}x) x dx, \quad 0 \leq z \leq H,
 \end{aligned} \tag{8}$$

в которых введены следующие безразмерные величины:

$$D_a(x) = F(x) \gamma_2 \operatorname{ch}(\gamma_2 \bar{h}) - R_2 \gamma_2 \operatorname{sh}(\gamma_2 \bar{h}),$$

$$\begin{aligned}
 D_g(x) = & \left\{ F(x) \gamma_2 + R_2 \gamma_2 \right\} \left\{ (W_2 - \gamma_1) R_2 \operatorname{sh}[\gamma_2(\bar{H} - \bar{h})] - \right. \\
 & \left. - R_1 \gamma_2 U(x) \operatorname{ch}[\gamma_2(\bar{H} - \bar{h})] \right\},
 \end{aligned}$$

$$\begin{aligned}
 D_s(x) = & \left\{ (W_2 - \gamma_1) R_2 + R_1 \gamma_2 U(x) \right\} \left\{ F(x) \gamma_2 \operatorname{ch}(\gamma_2 \bar{h}) - \right. \\
 & \left. - R_2 \gamma_2 \operatorname{sh}(\gamma_2 \bar{h}) \right\}, \tag{9}
 \end{aligned}$$

$$D_g(x) = \text{sh}(\gamma_2 \bar{H}) \left\{ \gamma_2 \gamma_t R_1 R_2 U(x) + \gamma_2 R_2 F(x)(W_2 - \gamma_1) \right\} - \\ - \text{sh}(\gamma_2 \bar{H}) \left\{ \gamma_2^2 R_1 F(x) U(x) + \gamma_t R_2^2 (W_2 - \gamma_1) \right\},$$

$$U(x) = 1 - W_1^2 - G(W_2 - \gamma_1), \quad F(x) = 4x^2 \gamma_t \gamma_t / b_2^4 - (2x^2/b_2^2 - 1)^2,$$

$$\gamma_1 = \sqrt{W_2^2 + (x^2 - 1)(1 - W_1^2)} + \gamma G / 2, \quad \gamma_1 = \gamma_1 - \gamma G / 2,$$

$$\gamma_2 = \sqrt{x^2 - a^2}, \quad \gamma_t = \sqrt{x^2 - b_1^2}, \quad \gamma_t = \sqrt{x^2 - b_2^2}, \quad G = \frac{g}{\omega c_1},$$

$$W_1^2 = (\gamma - 1)G^2, \quad W_2 = \frac{(2 - \gamma)G}{2}, \quad a = \frac{c_1}{c_2}, \quad b_1 = \frac{c_1}{c_t}, \quad b_2 = \frac{c_1}{c_t},$$

$$R_1 = \frac{P_{01}}{P_3}, \quad R_2 = \frac{P_2}{P_3}, \quad \bar{z} = k_1 z, \quad \bar{r} = k_1 r, \quad \bar{h} = k_1 h, \quad \bar{H} = k_1 H, \\ x = C_1 / c.$$

Здесь $k_1 = \omega / c_1$. ω – циклическая частота, $M(\omega)$ – спектр Фурье функции $M(t)$, c – фазовая скорость волн в рассматриваемой системе; знаки \pm в (8) отвечают значениям $z > h$ (верхний) и $z < h$ (нижний) соответственно.

Поскольку в настоящей работе представляют интерес лишь поверхностные волны, а именно модифицированная поверхностная волна Стоунли–Шолтэ–Нэмба, которым соответствуют полисы подинтегральны x функций в (7) и (8), то обратимся сначала к анализу дисперсионного уравнения $D_g(x) = 0$, которое запишем в следующем виде:

$$L_s(x) - \text{th}(\gamma_2 H_* / G) \left\{ \frac{R_1}{R_2} \gamma_2 U(x) F_1(x) + R_2 \frac{\gamma_t}{\gamma_2} b_2^4 (W_2 - \gamma_1) \right\} = 0,$$

$$L_s(x) = (W_2 - \gamma_1) F_1(x) + b_2^4 R_1 \gamma_1 U(x), \quad (10)$$

$$F_1(x) = b_2^4 F(x), \quad H_* = \frac{Hg}{C_1^2}.$$

При $H = 0$ из (10) находим дисперсионное уравнение $L_s(x) = 0$, описывающее распространение вдоль границы раздела изотермическая атмосфера – однородное упругое полупространство поверхностиной волны Стоунли–Шолтэ и волны Рэлея (см. (I4) в /I/), которая становится я поверхностиной лишь на частотах ниже определенной критической: $\omega < \omega_R$ (см. (I9) в /I/). Учет конечной толщины водного слоя не изменит того, что волна Рэлея становится поверхностиной в том же диапазоне частот, поскольку величина $\gamma_1^2 > 0$ в (10) для $\omega < \omega_R$ и при соответствующих значениях x . Естественно, что дисперсионные свойства поверхностиной волны Стоунли–Шолтэ будут лишь изменяться в зависимости от величины $b_2^4 H_* / G$. Для доказательства последнего утверждения найдем приближенное аналитическое решение уравнения (10), отвечающее волне Стоунли–Шолтэ $x = x_s$. Как и в /I/, решение для x_s будем искать в следующем виде:

$$x_s = \sqrt{1 - \gamma_s}, \quad (II)$$

где $\gamma_s \ll 1$ – малая поправка. Тогда, подставив (II) в (10), в первом приближении находим зависимость добавки γ_s от G и H_* :

$$\gamma_s \approx \left\{ 2W_2 - (1 - W_1^2)T \right\} T, \quad (II)$$

$$T = \frac{R_1}{R_2} \sqrt{1 - a^2} \operatorname{th}(\sqrt{1 - a^2} H_* / G) - \frac{R_1 \sqrt{1 - b_1^2} b_2^2}{2(1 - b_1^2 / b_2^2)}.$$

Для скорости распространения поверхностной волны Стоунли-Шолтэ C_s из (II), (I2) получаем следующее приближенное выражение:

$$C_s \approx C_1 \left\{ 1 + \left[W_2 - \frac{(1-W_1^2)}{2} T \right] T \right\}. \quad (I3)$$

Как следует из (I2), величина T может изменять свой знак в зависимости от значения H/G . Смена знака имеет место на определенной частоте $\omega = \omega_*$, удовлетворяющей уравнению

$$\operatorname{th} \left(\sqrt{1-a^2} H \frac{\omega_*}{C_1} \right) = R_2 \sqrt{\frac{1-b_1^2}{1-a^2}} \frac{b_2^2}{2(1-b_1^2/b_2^2)}. \quad (I4)$$

Поскольку же при реальных значениях акустических параметров атмосферы и океана правая часть уравнения (I4) существенно меньше единицы, то, используя разложение гиперболического тангенса при малых значениях аргумента, из (I4) находим для ω_* следующее приближенное выражение:

$$\omega_* = \frac{C_1}{2H} \frac{R_2 b_2^2 \sqrt{1-b_1^2}}{(1-a^2)(1-b_1^2/b_2^2)}. \quad (I5)$$

Следовательно, на частотах ниже ω_* , когда добавка χ_s в (II) отрицательна по величине, поверхностная волна распространяется с дозвуковой по отношению к воздуху скоростью, уменьшающейся с понижением частоты, что, как раз, и характерно для дисперсии поверхности волны Стоунли-Шолтэ в системе изотермическая атмосфера — однородное упругое полупространство /I/. На более высоких частотах: $\omega > \omega_*$ добавка χ_s в (II) положительна по величине и поверхностная волна будет распространяться со сверхзвуковой по отношению к воздуху скоростью; причем при $\omega >> C_1/H \sqrt{1-a^2}$, когда $T \approx \frac{R_1}{R_2} \sqrt{1-a^2}$, из (I2) следует выражение для χ_s , полностью совпадающее с аналогичным выражением для малой добавки χ_L (см. (I0) в /I/), характеризующим дисперсионные свойства модифицированной поверхностной волны Лэмба, распространяющейся вдоль гра-

ници раздела изотермическая атмосфера – однородная сжимаемая жидкость с увеличивающейся при понижении частоты сверхзвуковой скоростью. В том, что при $\omega \gg C_1 / H \sqrt{1 - a^2}$ дисперсионные свойства поверхности волн будут аналогичны дисперсионным свойствам модифицированной поверхности волны Лэмба, можно убедиться без проведения выполненных выше приближенных вычислений, если записать дисперсионное уравнение (IO) в другом виде:

$$S_W(x) L_W(x) + \frac{2 e^{-2\gamma_2 H}}{1 + e^{-2\gamma_2 H}} \left\{ \frac{R_1}{R_2} \gamma_2^2 U(x) F_1(x) + \right. \\ \left. + \gamma_1 R_2 b_2^4 (W_2 - v_1) \right\} = 0, \quad (I6)$$

$$S_W(x) = R_2 b_2^4 \gamma_2 - \gamma_2 F_1(x), \quad L_W(x) = \frac{R_1}{R_2} \gamma_2 U(x) + (v_1 - W_2).$$

Как видно из (I6), при $H \rightarrow \infty$ получаем два дисперсионных уравнения, во-первых, $S_W(x) = 0$ для поверхности волны Стоунли – Шолта ($C_2 < C_t$) или – Рэлея ($C_2 > C_t$), распространяющиеся вдоль границы раздела однородная сжимаемая жидкость – однородное упругое полупространство; во-вторых, $L_W(x) = 0$ для модифицированной поверхности волны Лэмба, распространяющейся вдоль границы раздела изотермическая атмосфера – однородная сжимаемая жидкость (см. (9) в I/). При больших, но конечных значениях величины $\gamma_2 H \gg 1$ второе слагаемое в уравнении (I6) будет вносить лишь малую, пропорциональную $e^{-2\gamma_2 H}$, поправку к решению уравнения $L_W(x) = 0$ и, поэтому, вполне очевиден вывод об идентификации в высокочастотном диапазоне $\omega > C_1 / H \sqrt{1 - a^2}$ поверхности волны, описываемой уравнением (IO), с модифицированной поверхностью волны Лэмба, существующей лишь на частотах ниже определенной критической частоты ω_L (см. (9) в I/):

$$\omega_L \approx \frac{q}{2C_1} \frac{2 - \gamma}{(\rho_{01}/\rho_2) \sqrt{1 - a^2}} \quad (I7)$$

Из сделанного выше вывода следует также, что и поверхностная волна, распространяющаяся вдоль границы раздела изотермическая атмосфера - океанический волновод, должна существовать лишь на частотах ниже определенной критической частоты ω_c , совпадающей с ω_L (I7) при $H \rightarrow \infty$. Как и в I/L, уравнение для $\omega = \omega_c$ найдем, положив в (IO) $\gamma_1(x_c) = 0$, $y_s = y_c = W_2^2 / (I - W_1^2)$, $x_s = x_c = \sqrt{I - y_c}$:

$$W_2 - \frac{R_1}{R_2} \gamma_2(x_c) \operatorname{th}(\gamma_2(x_c) H_s / G) \left\{ 1 - W_1^2 - Q W_2 + \right. \\ \left. + \frac{R_2^2 b_2^4 \gamma_1(x_c) W_2}{R_1 \gamma_2^2(x_c) F_1(x_c)} \right\} + R_1 b_2^4 \gamma_1(x_c) (1 - W_1^2 - Q W_2) / F_1(x_c) = 0. \quad (I8)$$

$$+ \frac{R_2^2 b_2^4 \gamma_1(x_c) W_2}{R_1 \gamma_2^2(x_c) F_1(x_c)} \Big\} + R_1 b_2^4 \gamma_1(x_c) (1 - W_1^2 - Q W_2) / F_1(x_c) = 0.$$

Поскольку ожидаемые значения критической частоты лежат в диапазоне $\omega_c \gtrsim \omega_L$, в котором $Q \lesssim 2 \frac{R_1}{R_2} \sqrt{I - a^2} / (2 - \gamma) \ll I$, то уравнение (I8) можно существенно упростить:

$$\omega_c \left\{ \operatorname{th} \left(\sqrt{1 - a^2} H \frac{\omega_c}{c_1} \right) - \frac{R_2 b_2^2}{2(1 - b_1^2/b_2^2)} \sqrt{\frac{1 - b_1^2}{1 - a^2}} \right\} - \omega_L = 0. \quad (I9)$$

Из (I9) при незначительной толщине водного слоя $\sqrt{I - a^2} H \omega_c / c_1 \ll I$ находим простое квадратичное уравнение

$$\sqrt{1 - a^2} \frac{H}{c_1} \omega_c^2 - \frac{R_2 b_2^2}{2(1 - b_1^2/b_2^2)} \sqrt{\frac{1 - b_1^2}{1 - a^2}} \omega_c - \omega_L = 0, \quad (20)$$

Физически допустимое решение которого имеет следующий вид:

$$\omega_c = \frac{c_1}{2H\sqrt{1-a^2}} \left\{ x + \left(x^2 + 4\sqrt{1-a^2} H \omega_L / c_1 \right)^{\frac{1}{2}} \right\}, \quad (2I)$$

$$x = \frac{R_2 b_2^2}{2(1-b_1^2/b_2^2)} \sqrt{\frac{1-b_1^2}{1-a^2}} = \frac{H \omega_*}{c_1} \sqrt{1-a^2}.$$

При определении зависимости $\omega_c(H)$ с использованием (2I) необходимо помнить о выполнении неравенств $\sqrt{1-a^2} H \omega_c / c_1 < < I$, $\omega_c / \omega_L \gg I$. Из анализа выражения (2I) можно сделать следующие выводы. Во-первых, $\omega_c \rightarrow \infty$ при $H \rightarrow 0$, что вполне естественно, поскольку в предельной ситуации $H = 0$ поверхностная волна Стоунли-Шолтэ, распространяющаяся вдоль границы изотермическая атмосфера — однородное упругое полупространство, существует во всем диапазоне частот $0 \leq \omega < \infty$. Во-вторых, в отсутствие стратификации и плотности атмосферного воздуха ($q = 0$, $\omega_L = 0$) поверхностная волна, распространяющаяся вдоль границы раздела атмосфера — океанический волновод с упругим дном и являющаяся аналогом поверхностной волны Стоунли-Шолтэ $L_s(x) = 0$, существует лишь на частотах ниже определенной критической частоты $\omega_c = \omega_*$ (15).

При значительной толщине водного слоя $\sqrt{1-a^2} H \omega_c / c_1 \gg I$ из (19) получаем приближенное решение

$$\omega_c \approx \omega_L \left/ \left\{ 1 - \frac{2 \exp(-2\sqrt{1-a^2} \omega_L H / c_1)}{1 - \sqrt{1-a^2} \omega_* H / c_1} \right\} \right., \quad (2I')$$

из которого при $H \rightarrow \infty$ получаем естественную асимптотику $\omega_c \rightarrow \omega_L$, непосредственно следующую из дисперсионного уравнения в форме (16).

Приведенные на рис. I-3 результаты численного решения уравнений (10), (18) подтверждают сделанные на основе приближенного их анализа выводы относительно дисперсионных свойств распространяю-

щейся вдоль границы раздела атмосфера с океаническим волноводом поверхности волны Стоунли-Шолтэ-Лэмба, которая является аналогом поверхности волны Стоунли-Шолтэ $L_s(x) = 0$ (10) на низких и - модифицированной поверхности волны Лэмба $L_w(x) = 0$ (16) на высоких частотах.

Обратимся теперь к анализу уравнения (10) с целью выяснения возможности существования решения $x = x_w = \sqrt{a^2 + \frac{\gamma^2}{\omega_w^2}}, \gamma \ll 1$, отвечающего поверхности волны Стоунли-Шолтэ, распространяющейся вдоль границы раздела жидкости с упругим полупространством со скоростью, близкой к скорости звука в жидкости. Как видно из (10), для этого необходимо, чтобы величина γ , принимала действительные значения при $x = x_w$, поскольку именно тогда, по аналогии с ситуацией для ралеевской волны в /1/, переизлучение энергии такой волной в атмосферу отсутствует. Положив $\gamma_1 = 0$ (см./1/), найдем приближенное уравнение

$$W_2^2 + (a^2 - 1)(1 - W_1^2) = 0 \quad (22)$$

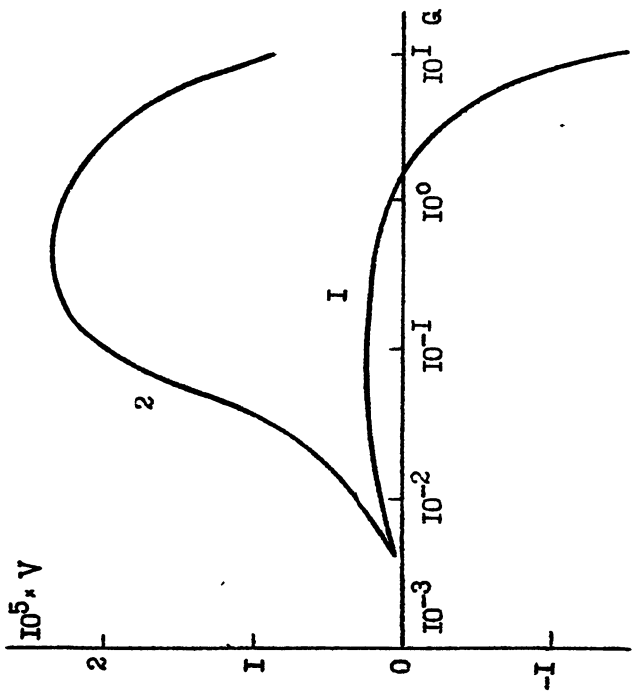
для определения критической частоты $\omega = \omega_w$, ниже которой возможно существование соответствующей поверхности волны. Из (22) имеем

$$\omega_w = \frac{g}{c_1} \sqrt{\left(\frac{2-\gamma}{2}\right)^2 / (1-a^2) + (\gamma-1)}. \quad (23)$$

Подставив же x_w в (10), в первом приближении для γ_w найдем следующее выражение:

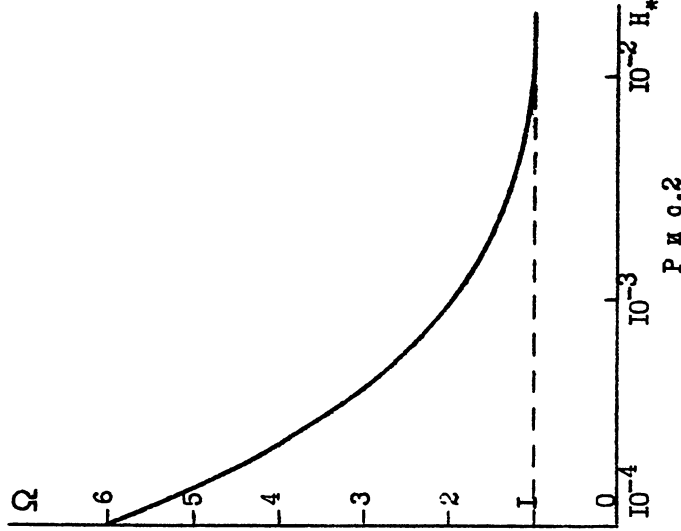
$$\gamma_w = \frac{1}{2\kappa_1 H} \left\{ \frac{1}{\kappa_1 H} \left[\frac{F_1(a)}{R_2 \gamma_l(a) b_2^4} + \frac{U(a)}{W_2 - \gamma_1(a)} \frac{R_1}{R_2} \right] - 1 \right\}. \quad (24)$$

Поскольку при реально возможных значениях H всегда выполняется неравенство $\omega_w H / c_1 \ll 1$, то, как следует из (24), в частотном диапазоне $\omega < \omega_w$ имеет место соотношение $\gamma_w \gg 1$, которое

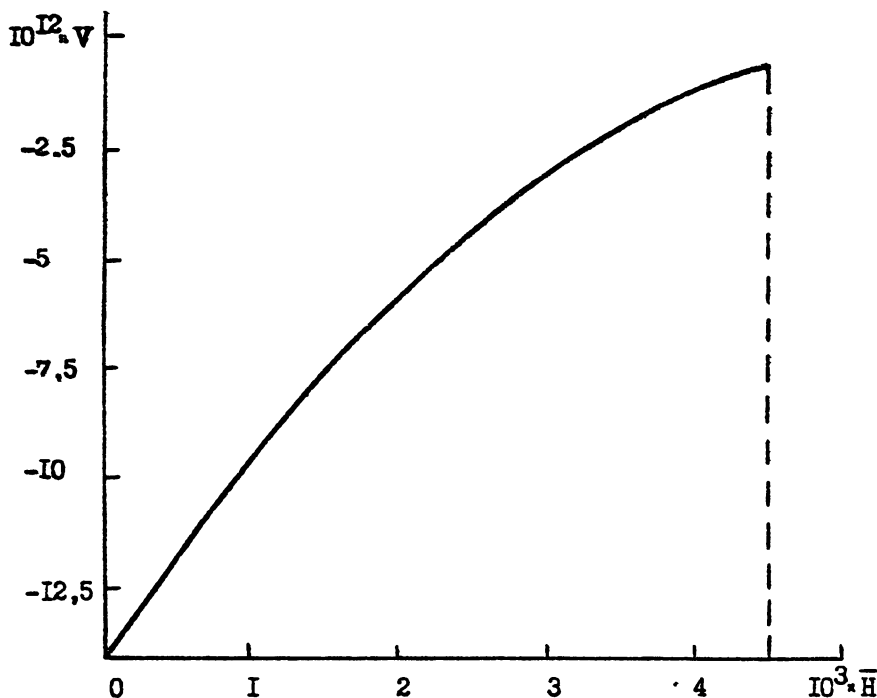


Р и с. I

Зависимость относительной добавки $V = \frac{C_s^2}{C_1^2} - 1$ и фазовой скорости поверхности волны Стоунли-Шолта -Дамбса от безразмерного параметра $Q = q/\omega C_1$, при $H = 10^2 M$ (кривая 1) и $H = 10^3 M$ (кривая 2); $R_1 = R_2 \cdot 10^{-3}$, $R_2 = 1/3$, $q = 3,4/15$, $b_1 = 8,5/15$, $b_2 = 3,4/24$, $\gamma = 1,4$. Горизонтальная штриховая линия соответствует асимптотике при $H \rightarrow \infty$.



Зависимость отношения критических частот Ω_c/Ω от безразмерной толщины воздушного слоя $H_* = H \cdot q / C_1^2$; $R_1 = R_2 \cdot 10^{-3}$, $R_2 = 1/3$, $q = 3,4/15$, $b_1 = 8,5 \cdot 10^{-2}$, $b_2 = 3,4/24$, $\gamma = 1,4$. Горизонтальная штриховая линия соответствует асимптотике при $H \rightarrow \infty$.



Р и с. 3

Зависимость относительной добавки $V = \frac{C_s}{C_1} - 1$ к фазовой скоро-
стии поверхности волны от безразмерной толщины водного слоя
 $\bar{H} = H K_1$, рассчитанная при $\varrho = 0$, т.е. в отсутствие стратифика-
ции плотности атмосферного воздуха; $R_1 = 10^{-3} R_2$, $R_2 = 1/3$, $a =$
 $= 3,4/15$, $b_1 = 8,5 \cdot 10^{-2}$, $b_2 = 3,4/24$, $\gamma = 1,4$. Вертикальная штри-
ховая линия, ограничивающая область (слева) существования по-
верхностной волны, соответствует значению $\bar{H} = \bar{H}_* = H \omega_* / C_1$.

противоречит исходному предположению $\zeta_w \ll 1$, использованному при получении (24); это и означает отсутствие решения $\mathbf{x} = \mathbf{x}_w$, отвечающего поверхности волне Стоунли-Чолтэ, распространяющейся с близкой к C_2 скоростью, что также подтверждается численным анализом уравнения (10).

Согласно целям настоящей работы осталось лишь получить и проанализировать частотные зависимости коэффициентов возбуждения модифицированной поверхности волны Стоунли-Чолтэ-Лэмба для возмущения давления K_p и вертикальной компоненты скорости смещения частиц среды K_v в атмосфере. Поэтому с использованием теории вычетов из (7) найдем отвечающие этой волне зависимости для возмущения давления и вертикальной компоненты скорости смещения частиц среды в атмосфере

$$\bar{p}_1(\omega) = -\frac{\sqrt{2\pi g/r} \bar{M}(\omega) p_3 R_1 R_2}{C_1^2} K_p e^{-i(\kappa_s r - \frac{\pi}{4})}, \quad (25)$$

$$\bar{v}_{1z}(\omega) = -\frac{\sqrt{2\pi g^3/r} \bar{M}(\omega) R_2}{C_1^3} K_v e^{-i(\kappa_s r - \frac{3\pi}{4})}$$

в которых искомые коэффициенты возбуждения K_p и K_v определяются следующими выражениями:

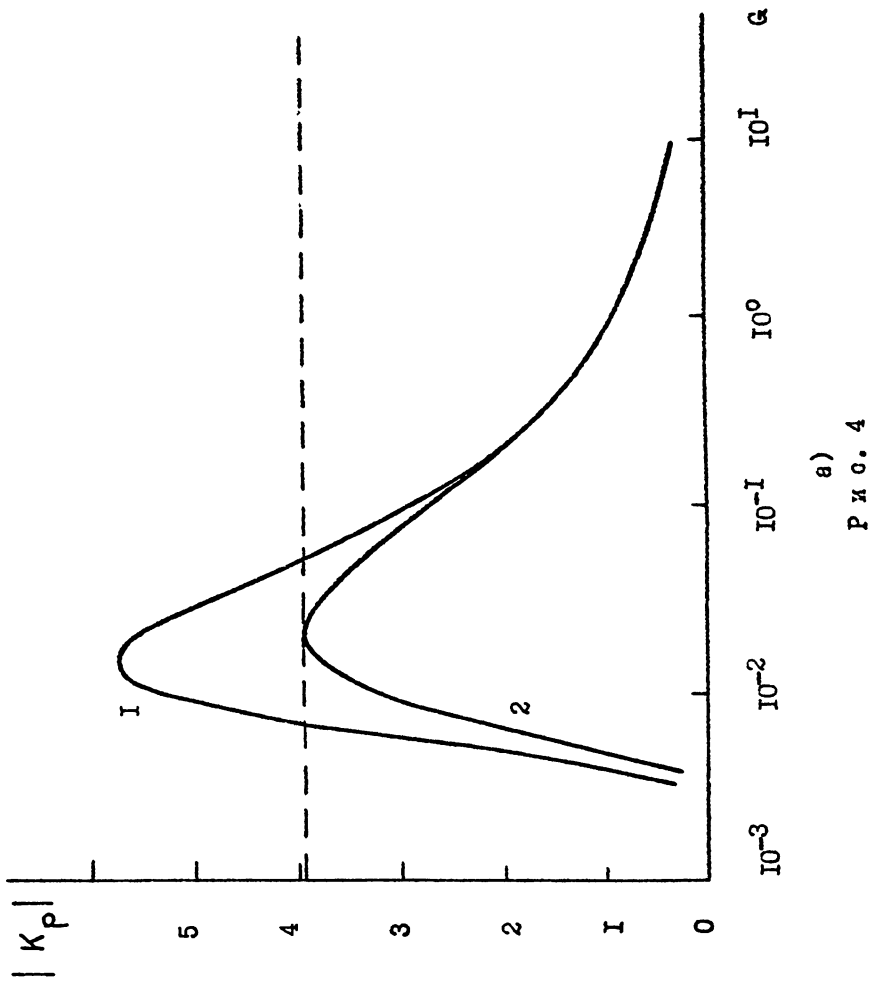
$$K_p(\omega) = \frac{(1-W_1^2)\sqrt{x_s} \left\{ F(x_s) f_2(x_s) - R_2 g_2(x_s) \operatorname{th}[g_2(x_s) \bar{h}] \right\}}{G^{3/2} \Phi(x_s)} \times \\ \times \frac{\operatorname{ch}[g_2(x_s) \bar{h}]}{\operatorname{ch}[g_2(x_s) \bar{H}]} e^{-g_2(x_s)(\bar{z} - \bar{H})}, \quad (26)$$

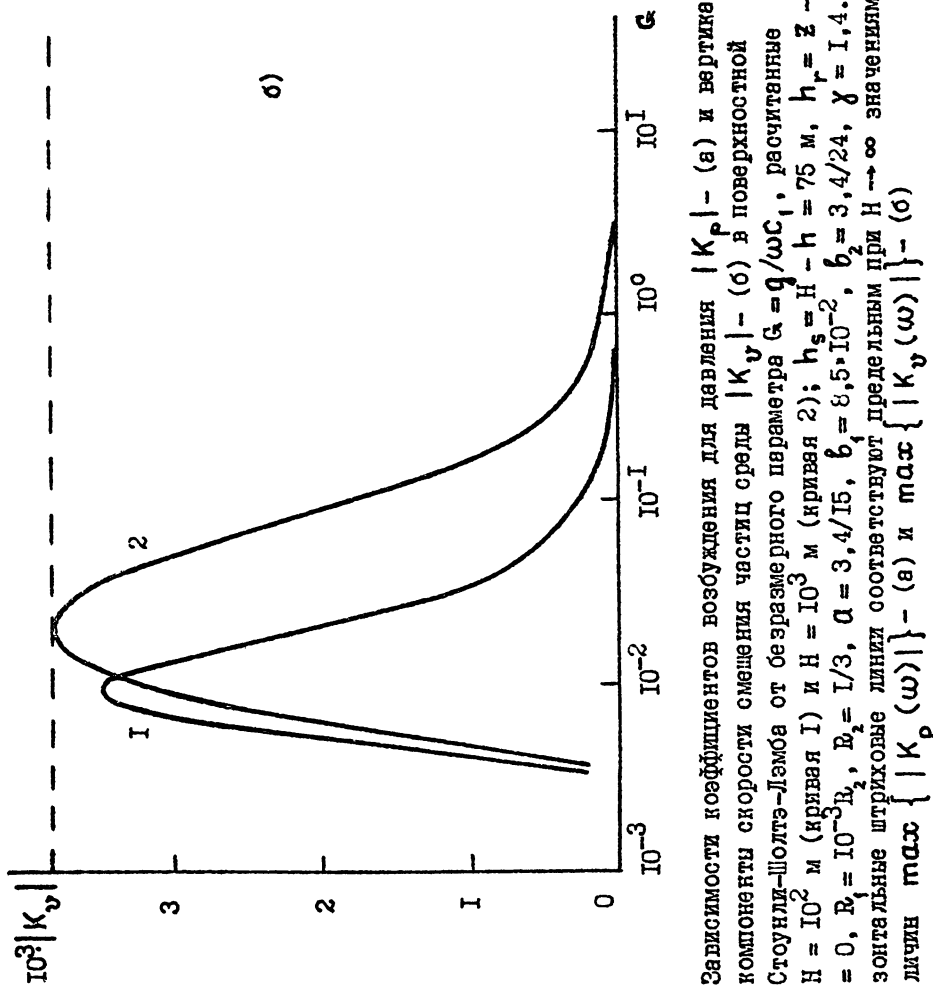
$$K_v(\omega) = (W_2 - g_1) K_p(\omega) e^{\gamma G(\bar{z} - \bar{H})} / (1 - W_1^2).$$

В (26) функция $\Phi(x)$ имеет следующий вид:

$$\begin{aligned}\Phi(x) = & x R_2 \left[\gamma_2 R_1 U(x) + (W_2 - \gamma_1) F(x) \right] \left[\bar{H} \operatorname{th}(\gamma_2 \bar{H}) + \frac{1}{\gamma_2} \right] + \\ & + \gamma_2 R_2 \left\{ \frac{x}{\gamma_2} R_1 U(x) + \frac{x}{\gamma_1} (1 - W_1^2) \left[\gamma_2 G R_1 - F(x) \right] + \right. \\ & \left. + (W_2 - \gamma_1) F_2(x) \right\} - \frac{\bar{H} x}{\gamma_2} \left[\gamma_2^2 R_1 U(x) F(x) + \gamma_2 R_2^2 (W_2 - \gamma_1) \right] - \\ & - \operatorname{th}(\gamma_2 \bar{H}) \left\{ R_1 \left[x F(x) \left(2 U(x) + \frac{\gamma_2^2 G (1 - W_1^2)}{\gamma_1} \right) + \gamma_2^2 U(x) \times \right. \right. \\ & \left. \left. - F_2(x) \right] + R_2^2 x \left[\frac{W_2 - \gamma_1}{\gamma_2} - \frac{\gamma_2}{\gamma_1} (1 - W_1^2) \right] \right\}, \\ F_2(x) = & \frac{8x}{b_2^4} \left[\gamma_2 \gamma_t - 2x^2 + b_2^2 + \frac{x^2}{2} \left(\frac{\gamma_2}{\gamma_2} + \frac{\gamma_t}{\gamma_t} \right) \right].\end{aligned}$$

На приведенных на рис.4 результатов численного анализа выражение (26) следует, что коэффициенты возбуждения $|K_p|$ и $|K_v|$ характеризуются качественно одинаковыми частотными зависимостями, имеющими по одному максимуму на соответствующих частотах $\omega_p(H, h, z)$ и $\omega_v(H, h, z)$, различающихся по величине $\omega_v > \omega_p$. Следует отметить, что с увеличением толщины водного слоя, при заданном расположении корреспондирующих точек относительно поверхности океана





Р и с. 4 Зависимости коэффициентов возбуждения для давления $|K_p|$ - (а) и вертикальной компоненты скорости смещения частиц среды $|K_v|$ - (б) в поверхностной волне Стоуни-Шолте-Лэмба от безразмерного параметра $G = q/\omega C^l$, расчетанные при $H = 10^2$ м (кривая 1) и $H = 10^3$ м (кривая 2); $h_s = H - h = 75$ м, $h_r = Z - H = 0$, $R_1 = 10^{-3} R_2$, $\alpha = 1/3$, $\beta_1 = 3,4/15$, $\beta_2 = 8,5 \cdot 10^{-2}$, $\beta_3 = 3,4/24$, $\gamma = 1,4$. Горизонтальные штриховые линии соответствуют предельным при $H \rightarrow \infty$ значениям величин $\max \{ |K_p(\omega)| \} - (a)$ и $\max \{ |K_v(\omega)| \} - (b)$

$h_s = H - h = \text{const}$, $h_r = Z - H = \text{const}$, во-первых, частоты ω_p и ω_m уменьшаются, стремясь к предельной величине ω_m (h_s, h_r); во-вторых, более узкий максимум в $|K_v(\omega)|$ расширяется и увеличивается по величине, стремясь к предельному значению $|K_v(\omega_m)|$; в-третьих, максимум в $|K_p(\omega)|$, наоборот, уменьшается по величине, стремясь также к предельному значению $|K_p(\omega_m)|$ (см.рис.4). Так, из приведенных на рис.4 результатов расчета находим, что при $h_s = 75 \text{ м}$, $h_r = 0$: $\omega_m = 44,4 \text{ г/с}$, $|K_p(\omega_m)| = 3,95$, $|K_v(\omega_m)| = 3,38 \cdot 10^{-3}$.

Таким образом, установлено, что в системе изотермическая атмосфера – океанический волновод, моделируемый изоскоростным водным слоем, лежащим на однородном упругом полупространстве, существует атмосферная поверхностная волна Стоунли–Шолтэ–Лэмба и лишь на частотах ниже определенной критической частоты, не обращающейся в нуль даже в отсутствие влияния силы тяжести Земли.

ЛИТЕРАТУРА

1. Петухов Ю.В. К теории поверхностных волн, распространяющихся вдоль границы Земля – атмосфера//Препринт № 325. – Н.Новгород: НИРФИ, 1991. – 15 с.
2. Госсард Э.Э., Хук У.Х. Волны в атмосфере. – М.: Мир, 1987. – – 532 с.
3. Петухов Ю.В. Эффект одновременного существования непреизлу – чаемых поверхностных волн Рэлея и Стоунли//Акуст. журн. – – 1991. – Т.37, № 2. – С.405–407.
4. Scholte J.G. The range of existence of Rayleigh and Stoneley waves//Monthly Notices Roy. Astron. Soc. Geophys. Suppl.–1947. – V. 5, n/3. – P. 120–126.
5. Осташев В.Е. Уравнение для акустических и гравитационных волн в стратифицированной движущейся среде//Акуст. журн. – 1987. – – Т.32, № 1. – С.150–152.
6. Лайтхилл Дж. Волны в жидкостях. – М.: Мир, 1981. – 598 с.
7. Ewing W.M., Jardetzky W.S., Press F. Elastic waves in layered media.– New York: McGraw-Hill, 1957– 580 P.

Дата поступления статьи
1 октября 1991 г.